

### ПОВЗУЧИСТЬ ПЛАСТИН НЕКАНОНІЧНОЇ ФОРМИ З МАТЕРІАЛІВ ІЗ АСИМЕТРІЄЮ ВЛАСТИВОСТЕЙ

*Досліджується повзучість тонких пластин складної форми із матеріалів з асиметрією властивостей, що знаходяться під дією навантажень у площині. Метод розв'язування базується на сумісному застосуванні варіаційно-структурного методу та методу Рунге – Кутта – Мерсона. Одержано структури розв'язку для основних типів крайових умов. Досліджено вплив типу навантаження на повзучість і тривалу міцність пластини з отворами.*

При деформуванні в умовах високотемпературної повзучості багато матеріалів мають асиметрію властивостей, що виявляється в неоднаковій поведінці при розтягу та стиску, і незалежний закон деформування при чистому зсуві [1, 5, 8]. Також можуть проявлятися вплив гідростатичного тиску на повзучість, залежність пошкоджуваності від типу навантаження, анізотропія, зумовлена зміцненням і пошкоджуваністю, ефект Пойнтінга тощо [11–13].

Геометрична форма (наявність отворів, вирізів тощо), спосіб закріплення торців пластини можуть суттєво впливати на процеси повзучості та пошкоджуваності. З іншого боку, необхідно враховувати реальні властивості матеріалу, нехтування якими найчастіше приводить до неадекватного опису поведінки конструкції в цілому. Тому необхідність комплексного урахування геометричних і фізичних факторів при дослідженні повзучості пластин складної форми із матеріалів з асиметрією властивостей, вимагає створення нових ефективних моделей і методів розрахунку.

Метою цієї роботи є:

- розробити й обґрунтувати метод розв'язування фізично нелінійної задачі повзучості пластин складної форми на основі варіаційно-структурного методу та методу Рунге – Кутта – Мерсона;
- дослідити вплив типу навантаження на повзучість і тривалу міцність пластин із матеріалів з асиметрією властивостей;
- дослідити вплив геометричної форми на повзучість і тривалу міцність пластин.

У прямокутній декартовій системі координат  $Ox_1x_2$  розглянемо тонку пластину постійної товщини з геометричною формою  $\Omega$ . Температура пластини  $T = \text{const}$ . Пластина навантажена контурними нормальними  $P_n^{(0)}(x_1, x_2, t)$  і дотичними  $P_\tau^{(0)}(x_1, x_2, t)$  зусиллями. Тут  $\mathbf{n}, \boldsymbol{\tau}$  – зовнішня нормаль і дотична до контуру  $\partial\Omega$ ;  $t$  – час.

У довільний момент часу задача повзучості пластини може бути зведена до варіаційної проблеми для функціонала Лагранжа [3]:

$$\begin{aligned} \Lambda(\dot{u}_1, \dot{u}_2) = & \frac{1}{2} \iint_{\Omega} \frac{E}{1-\nu^2} \left( \dot{u}_{1,1}^2 + \dot{u}_{2,2}^2 + 2\nu\dot{u}_{1,1}\dot{u}_{2,2} + \frac{1}{2}(1-\nu)(\dot{u}_{1,2} + \dot{u}_{2,1})^2 \right) dx_1 dx_2 - \\ & - \iint_{\Omega} [\dot{N}_{11}^c \dot{u}_{1,1} + \dot{N}_{22}^c \dot{u}_{2,2} + \dot{N}_{12}^c (\dot{u}_{1,2} + \dot{u}_{2,1})] dx_1 dx_2 - \\ & - \int_{\partial\Omega} [\dot{P}_n^0 (\dot{u}_1 n_1 + \dot{u}_2 n_2) + \dot{P}_\tau^0 (\dot{u}_2 n_1 - \dot{u}_1 n_2)] dS, \end{aligned} \quad (1)$$

де  $\dot{u}_1, \dot{u}_2$  – кінематично можливі швидкості переміщень уздовж осей  $Ox_1, Ox_2$  відповідно;  $n_1, n_2$  – напрямні косинуси нормалі  $\mathbf{n}$ ;

$$\dot{N}_{11}^c = \frac{E}{1-\nu^2}(\dot{p}_{11} + \nu\dot{p}_{22}), \quad \dot{N}_{22}^c = \frac{E}{1-\nu^2}(\dot{p}_{22} + \nu\dot{p}_{11}),$$

$\dot{N}_{12}^c = 2G\dot{p}_{12}$  – «фіктивні» навантаження, зумовлені деформаціями повзучості;  $E, G, \nu$  – модуль пружності, модуль зсуву і коефіцієнт Пуассона матеріалу. Компоненти тензора швидкостей деформацій повзучості  $\dot{p}_{ij}$  задані і не варіюються. Крапка над символами означає повну похідну за часом.

При розгляді плоскої задачі теорії повзучості, залежно від способу закріплення, можуть виникнути три основні задачі.

1. Для **першої основної задачі** на контурі пластини  $\partial\Omega$  задано швидкості нормальних і дотичних напружень:

$$\dot{\sigma}_n = \dot{P}_n^{(0)} + \dot{P}_n^c, \quad \dot{\tau}_n = \dot{P}_\tau^{(0)} + \dot{P}_\tau^c.$$

Ці умови, виражені через швидкості переміщень, запишемо у вигляді:

$$A_1(\dot{u}_{1,n}n_1 + \dot{u}_{2,n}n_2) + A_2(\dot{u}_{2,\tau}n_1 - \dot{u}_{1,\tau}n_2) = \dot{P}_n^{(0)} + \dot{P}_n^c, \\ G(-\dot{u}_{1,n}n_2 + \dot{u}_{2,n}n_1 + \dot{u}_{1,\tau}n_1 + \dot{u}_{2,\tau}n_2) = \dot{P}_\tau^{(0)} + \dot{P}_\tau^c, \quad (2)$$

де  $\dot{P}_n^c = \dot{N}_{11}^cn_1^2 + 2\dot{N}_{12}^cn_1n_2 + \dot{N}_{22}^cn_2^2$ ,  $\dot{P}_\tau^c = (\dot{N}_{22}^c - \dot{N}_{11}^c)n_1n_2 + \dot{N}_{12}^c(n_1^2 - n_2^2)$ ,

$$\dot{u}_{i,n} = \dot{u}_{i,1}n_1 + \dot{u}_{i,2}n_2, \quad \dot{u}_{i,\tau} = \dot{u}_{i,2}n_1 - \dot{u}_{i,1}n_2, \quad A_1 = \frac{E}{1-\nu^2}, \quad A_2 = \nu A_1.$$

Умови (2) є природними для функціонала (1).

2. Для **другої задачі** на границі задано швидкості переміщень:

$$\dot{u}_i = \dot{f}_i^{(0)}, \quad i = 1, 2. \quad (3)$$

3. Для **третьої основної або змішаної задачі** на частині  $\partial\Omega_1$  границі  $\partial\Omega$  задано умови (3), а на  $\partial\Omega_2$  – умови (2).

Для деформацій повзучості прийемо визначальні співвідношення, отримані та обґрунтовані в роботі [9], що описують різну поведінку матеріалу при розтягу, стиску та зсуві, різний розвиток пошкоджуваності при розтягу, стиску та зсуві, стискувальність матеріалу при повзучості, а також анізотропію, зумовлену пошкоджуваністю:

$$\dot{p}_{k\ell} = \sigma_e^m \Psi^{-\beta} \left( \frac{\Psi_*}{\Psi_* - \Psi} \right)^q \left( \frac{C\sigma_{k\ell} + AI_1\delta_{k\ell}}{\sigma_2} + Be_k e_\ell \right), \quad k, \ell = 1, 2. \quad (4)$$

Тут  $\Psi$  – параметр, що описує зміцнення і пошкоджуваність матеріалу;  $\sigma_e$  – еквівалентне напруження:  $\sigma_e = \sigma_2 + B\sigma_{k\ell}e_k e_\ell$ , де  $\sigma_2^2 = AI_1^2 + CI_2$ ,  $I_1 = \sigma_{k\ell}\delta_{k\ell}$ ,  $I_2 = \sigma_{k\ell}\sigma_{\ell k}$ ;  $\delta_{k\ell}$  – символ Кронекера;  $\mathbf{e} = (e_1, e_2)$  – одиничний вектор, спрямований перпендикулярно до площини мікротріщини;  $A, B, C$  – сталі матеріалу.

Приймаємо, що мікротріщини в матеріалі орієнтовані перпендикулярно до напрямку дії максимального головного напруження. У цьому випадку параметри  $A, B, C$  знаходяться за формулами [9]

$$B = K_+^{1/(m+1)} - K_-^{1/(m+1)}, \quad \sqrt{2C} = K_0^{1/(m+1)} - B, \quad A = K_-^{2/(m+1)} - C,$$

де  $K_+, K_-, K_0, m, \beta, q$  – константи матеріалу, відомі з базових експериментів на розтяг, стиск і зсув.

За параметр  $\Psi$  виберемо питому енергію розсіяння [9, 10]

$$\Psi = \int_0^t W dt,$$

де  $W = \sigma_{ij} \dot{p}_{ij}$ ,  $i, j = 1, 2$ . Таким чином, для  $\psi$  будемо мати кінетичне рівняння

$$\dot{\psi} = \sigma_{ij} \dot{p}_{ij}. \quad (5)$$

Підставивши (4) у (5), одержимо

$$\dot{\psi} = \sigma_e^{m+1} \psi^{-\beta} \left( \frac{\Psi_*}{\Psi_* - \psi} \right)^q.$$

Початкове значення  $\psi = 0$  відповідає непошкодженому стану при  $t = 0$ , а

критичне значення  $\psi = \psi_* = \int_0^{t_*} W dt$  відповідає часу  $t = t_*$  до руйнування

або часу прихованого руйнування.

Наведемо короткий опис методу розв'язку початково-крайової задачі повзучості. Для того щоб знайти значення основних невідомих у довільний момент часу, запишемо початкову задачу Коші за часом:

$$\begin{aligned} \frac{du_1}{dt} &= \dot{u}_1, & \frac{du_2}{dt} &= \dot{u}_2, \\ \frac{d\varepsilon_{11}}{dt} &= \dot{\varepsilon}_{1,1}, & \frac{d\varepsilon_{22}}{dt} &= \dot{\varepsilon}_{2,2}, & \frac{d\gamma_{12}}{dt} &= \dot{\gamma}_{1,2} + \dot{\gamma}_{2,1}, \\ \frac{d\sigma_{11}}{dt} &= A_1(\dot{u}_{1,1} + \nu \dot{u}_{2,2} - \dot{p}_{11} - \nu \dot{p}_{22}), \\ \frac{d\sigma_{22}}{dt} &= A_1(\dot{u}_{2,2} + \nu \dot{u}_{1,1} - \dot{p}_{22} - \nu \dot{p}_{11}), & \frac{d\sigma_{12}}{dt} &= G(\dot{u}_{1,2} + \dot{u}_{2,1} - 2\dot{p}_{12}), \\ \frac{dp_{11}}{dt} &= \dot{p}_{11}, & \frac{dp_{22}}{dt} &= \dot{p}_{22}, & \frac{dp_{12}}{dt} &= \dot{p}_{12}, & \frac{d\psi}{dt} &= \dot{\psi}. \end{aligned} \quad (6)$$

Початкові умови при  $t = 0$  для рівнянь (6) знаходимо з розв'язку задачі пружного деформування.

Для інтегрування початкової задачі Коші за часом будемо використовувати метод Рунге – Кутта – Мерсона четвертого порядку точності [2, 4], який вимагає п'ятикратного розв'язування варіаційної задачі на кожному часовому кроці та має високу точність і стійкість до нагромадження похибок обчислень. Величина змінного кроку встановлюється автоматично за заданою похибкою обчислень  $\delta$ .

Варіаційне рівняння  $\delta\Lambda = 0$  на кожному часовому кроці будемо розв'язувати методом  $R$ -функцій [6] у комбінації з методом Рітца. Метод  $R$ -функцій дозволяє подати наближений розв'язок крайової задачі у вигляді формули – структури розв'язку, що точно задовольняє усі або частину граничних умов і є інваріантною стосовно форми області, де шукаємо розв'язок.

Використовуючи загальну методику побудови структурних формул [6, 7], можна показати, що загальна структура розв'язку, що задовольняє граничні умови першої основної задачі, буде мати вигляд

$$\dot{u}_i = \dot{u}_{0i} + \dot{u}_{1i}, \quad i = 1, 2, \quad (7)$$

де  $\dot{u}_{0i}$ ,  $\dot{u}_{1i}$  відповідно задовольняють неоднорідні та однорідні граничні умови,

$$\dot{u}_{01} = \omega \left( \frac{1}{A_1} \omega_{,1} \dot{P}_n - \frac{1}{G} \omega_{,2} \dot{P}_\tau \right), \quad \dot{u}_{02} = \omega \left( \frac{1}{A_1} \omega_{,2} \dot{P}_n + \frac{1}{G} \omega_{,1} \dot{P}_\tau \right), \quad (8)$$

$$\dot{u}_{11} = \Phi_1 - \omega [D_1 \Phi_1 - (1 + \nu) \omega_{,1} \omega_{,2} T_1 \Phi_1 + T_1 \Phi_2 (\nu \omega_{,1}^2 - \omega_{,2}^2)] + \omega^2 \Phi_3,$$

$$\dot{u}_{12} = \Phi_2 - \omega [D_1 \Phi_2 + (1 + \nu) \omega_{,1} \omega_{,2} T_1 \Phi_2 + T_1 \Phi_1 (\omega_{,1}^2 - \nu \omega_{,2}^2)] + \omega^2 \Phi_4. \quad (9)$$

У формулах (7), (8) функція  $\omega(x)$  ( $x = (x_1, x_2)$ ) будується за допомогою теорії  $R$ -функцій і задовольняє умови

$$\omega(x) = 0, \quad x \in \partial\Omega; \quad \omega(x) > 0, \quad x \in \Omega; \quad |\omega_{,n}| = 1, \quad x \in \partial\Omega;$$

$\Phi_i$ ,  $i = 1, \dots, 4$ , – невизначені компоненти структури розв'язку [6];

$$\dot{P}_n = EC(\dot{P}_n^{(0)} + \dot{P}_n^c) = EC(\dot{P}_n^{(0)}) + EC(\dot{P}_n^c),$$

$$\dot{P}_\tau = EC(\dot{P}_\tau^{(0)} + \dot{P}_\tau^c) = EC(\dot{P}_\tau^{(0)}) + EC(\dot{P}_\tau^c),$$

де  $EC(\dots)$  – оператор продовження граничних умов усередину області  $\Omega$ ;  $D_1, T_1$  – диференціальні оператори вигляду [6]

$$D_1 = \frac{\partial\omega}{\partial x_1} \frac{\partial}{\partial x_1} + \frac{\partial\omega}{\partial x_2} \frac{\partial}{\partial x_2}, \quad T_1 = -\frac{\partial\omega}{\partial x_2} \frac{\partial}{\partial x_1} + \frac{\partial\omega}{\partial x_1} \frac{\partial}{\partial x_2}.$$

Продовження функцій  $\dot{P}_n^c, \dot{P}_\tau^c$  мають такий вигляд:

$$EC(\dot{P}_n^c) = \dot{N}_{11}^c \omega_{,1}^2 + 2\dot{N}_{12}^c \omega_{,1} \omega_{,2} + \dot{N}_{22}^c \omega_{,2}^2,$$

$$EC(\dot{P}_\tau^c) = (\dot{N}_{22}^c - \dot{N}_{11}^c) \omega_{,1} \omega_{,2} + \dot{N}_{12}^c (\omega_{,1}^2 - \omega_{,2}^2).$$

Продовження функцій  $\dot{P}_n^{(0)}, \dot{P}_\tau^{(0)}$  можуть бути побудовані за допомогою формул «склеювання» граничних значень [6].

Якщо на границі задано швидкості переміщень (друга основна задача), то структуру розв'язку можна записати так:

$$\dot{u}_i = \dot{f}_i + \omega \Phi_i, \quad i = 1, 2,$$

де  $\dot{f}_i = EC(\dot{f}_i^{(0)})$  – продовження функцій  $\dot{f}_i^{(0)}$  усередину області  $\Omega$ .

Загальна структура розв'язку, який задовольняє граничні умови змішаної задачі, буде такою:

$$\dot{u}_i = \dot{u}_{0i} + \dot{u}_{1i}, \quad i = 1, 2,$$

де

$$\begin{aligned} \dot{u}_{01} = & \omega \left( \frac{1}{A_1} \omega_{2,1} \dot{P}_n - \frac{1}{G} \omega_{2,2} \dot{P}_\tau \right) + \dot{f}_1 - \omega D_1^{(2)} \dot{f}_1 + \\ & + \omega(1 + \nu) \omega_{2,1} \omega_{2,2} T_1^{(2)} \dot{f}_1 - \omega(\nu \omega_{2,1}^2 - \omega_{2,2}^2) T_1^{(2)} \dot{f}_2, \end{aligned}$$

$$\begin{aligned} \dot{u}_{02} = & \omega \left( \frac{1}{A_1} \omega_{2,2} \dot{P}_n + \frac{1}{G} \omega_{2,1} \dot{P}_\tau \right) + \dot{f}_2 - \omega D_1^{(2)} \dot{f}_2 - \\ & - \omega(1 + \nu) \omega_{2,1} \omega_{2,2} T_1^{(2)} \dot{f}_2 + \omega(\nu \omega_{2,2}^2 - \omega_{2,1}^2) T_1^{(2)} \dot{f}_1, \end{aligned}$$

$$\begin{aligned} \dot{u}_{11} = & \omega_1 \Phi_1 - \omega [D_1^{(2)}(\omega_1 \Phi_1) - (1 + \nu) \omega_{2,1} \omega_{2,2} T_1^{(2)}(\omega_1 \Phi_1) + \\ & + T_1^{(2)}(\omega_1 \Phi_2)(\nu \omega_{2,1}^2 - \omega_{2,2}^2)] + \omega_2 \omega \Phi_3, \end{aligned}$$

$$\begin{aligned} \dot{u}_{12} = & \omega_1 \Phi_2 - \omega [D_1^{(2)}(\omega_1 \Phi_2) + (1 + \nu) \omega_{2,1} \omega_{2,2} T_1^{(2)}(\omega_1 \Phi_2) + \\ & + T_1^{(2)}(\omega_1 \Phi_1)(\omega_{2,1}^2 - \nu \omega_{2,2}^2)] + \omega_2 \omega \Phi_4. \end{aligned}$$

Тут

$$\dot{P}_n = \dot{N}_{11}^c \omega_{2,1}^2 + 2\dot{N}_{12}^c \omega_{2,1} \omega_{2,2} + \dot{N}_{22}^c \omega_{2,2}^2 + EC(\dot{P}_n^{(0)}),$$

$$\dot{P}_\tau = (\dot{N}_{22}^c - \dot{N}_{11}^c) \omega_{2,1} \omega_{2,2} + \dot{N}_{12}^c (\omega_{2,1}^2 - \omega_{2,2}^2) + EC(\dot{P}_\tau^{(0)}),$$

$\omega = 0$ ,  $\omega_1 = 0$ ,  $\omega_2 = 0$  – рівняння границі  $\partial\Omega$  і ділянок  $\partial\Omega_1$ ,  $\partial\Omega_2$  відповідно. Оператори  $D_1^{(2)}$ ,  $T_1^{(2)}$  мають вигляд

$$D_1^{(2)} = \frac{\partial\omega_2}{\partial x_1} \frac{\partial}{\partial x_1} + \frac{\partial\omega_2}{\partial x_2} \frac{\partial}{\partial x_2}, \quad T_1^{(2)} = -\frac{\partial\omega_2}{\partial x_2} \frac{\partial}{\partial x_1} + \frac{\partial\omega_2}{\partial x_1} \frac{\partial}{\partial x_2}.$$

При чисельній реалізації невизначені компоненти структур розв'язку зображали у вигляді скінченних рядів

$$\Phi_i(x) \approx \Phi_{iN}(x) = \sum_{k=1}^{N_i} C_k^{(i)} \varphi_k(x),$$

де  $\{\varphi_k\}$  – система степеневих поліномів вигляду  $x_1^m x_2^n$  (ступінь полінома визначається як  $P = m + n$ ). Невизначені коефіцієнти  $C_k^{(i)}$  знаходили методом Рітца.

Як приклад розглянемо повзучість прямокутної пластини з двома круговими отворами (рис. 1). Матеріал пластини – титановий сплав ОТ-4. Температура  $T = 748$  К.

На зовнішньому контурі пластини навантажена нормальним зусиллям  $|P_{n1}^0| = 100$  МПа, на контурі отворів діють нормальні зусилля  $|P_{n2}^0| = 200$  МПа. Розміри в плані:  $2a = 0.12$ ,  $2b = 0.1$  м, радіус кругових отворів  $r = 0.01$  м. Пружні константи матеріалу:  $E = 60$  ГПа,  $\nu = 0.3$ . Константи матеріалу при повзучості:  $\beta = 0$ ,  $m = 4$ ,  $q = 2$ ,  $K_+ = 13.5 \cdot 10^{-2}$  ГПа $^{-m}$  год $^{-1}$ ,  $P_{n1}^0$ ,  $K_- = 7.5 \cdot 10^{-2}$  ГПа $^{-m}$  год $^{-1}$ ,  $K_0 = 2.77$  ГПа $^{-m}$  год $^{-1}$ ; критичне значення параметра пошкоджуваності  $\psi_* = 100$  МПа.

Нормалізоване до першого порядку рівняння границі області, показаної на рис. 1, може бути записане так:

$$\omega = ((F_1 \wedge_0 F_2) \wedge_0 F_3) \wedge_0 F_4 = 0,$$

де

$$F_1 = \frac{1}{2b}(b^2 - x_2^2), \quad F_2 = \frac{1}{2a}(a^2 - x_1^2),$$

$$F_3 = \frac{1}{2r}(x_1^2 + (x_2 - 0.5c)^2 - r^2),$$

$$F_4 = \frac{1}{2r}(x_1^2 + (x_2 + 0.5c)^2 - r^2).$$

При розв'язуванні враховували симетрію задачі. Для обчислення елементів матриці Рітца використовували формули Гаусса. При цьому кількість вузлів інтегрування по чверті області дорівнювала 432. Степені апроксимуючих поліномів:  $P_1 = P_2 = 17$ ,  $P_3 = P_4 = 9$ . Похибка  $\delta = 0.01$ .

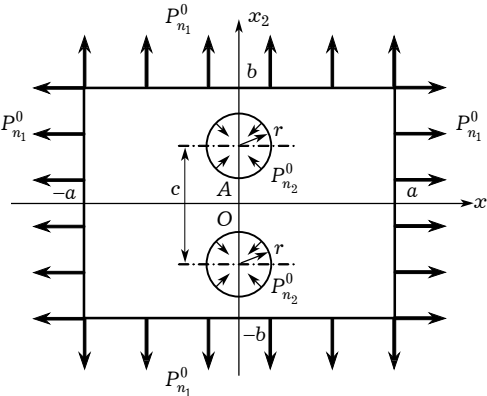


Рис. 1

Дослідимо, як впливає напрямок зовнішнього навантаження і відстань між отворами на тривалу міцність пластини. На рис. 2 наведено криві для часу прихованого руйнування, що ілюструють залежність часу прихованого руйнування від напрямку зовнішнього навантаження і відношення відстані між центрами отворів до діаметра отвору –  $c/d$ . Крива 1 отримана за допомогою класичних визначальних співвідношень [9, 10] і експериментальних даних на розтяг. Очевидно, що в цьому випадку будемо мати однакову криву тривалої міцності при розтягу та стиску. Криві 2, 3 отримано за допомогою визначальних співвідношення (4) при розтягу та стиску пластини відповідно. В усіх випадках руйнування пластини починається поблизу границі отворів.

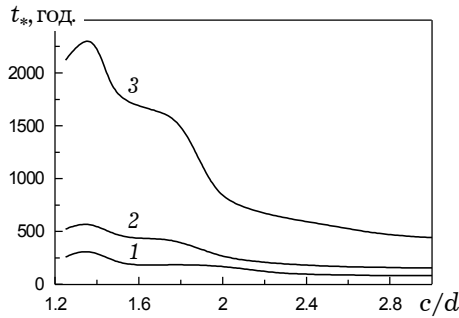


Рис. 2

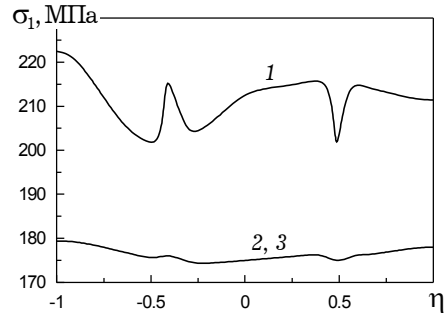


Рис. 3

На рис. 2 видно, що класична теорія повзучості не дозволяє дати прийнятну оцінку часу до руйнування.

Нижче, на рис. 3–9, наведено результати дослідження повзучості пластини при  $c/d = 2.25$ . На рис. 3 показано результати обчислень інтенсивності напружень  $\sigma_i = \sqrt{\sigma_{11}^2 + \sigma_{22}^2 - \sigma_{11}\sigma_{22} + 3\sigma_{12}^2}$  на краю кругового отвору як функції від  $\eta = 2\theta/\pi$ . Крива 1 відповідає пружному розв'язку в початковий момент часу, криві 2, 3 – моментам часу до руйнування при розтягу ( $t = t_{*p}$ ) і при стиску ( $t = t_{*c}$ ), які отримано на основі визначальних співвідношень (4). На рисунку бачимо, що в момент руйнування інтенсивності напружень на краю отвору при розтягу і стиску практично збігаються (середня різниця значень становить 0.2 %).

На рис. 4 зображено залежності від часу повної деформації  $\varepsilon_{22}$ , деформації повзучості  $p_{22}$  і пружної деформації  $\varepsilon_{22}^e = \varepsilon_{22} - p_{22}$  в точці  $A(0; c/2 - r)$  при розтягу. На рисунку видно, що пружні деформації в процесі повзучості зменшуються.

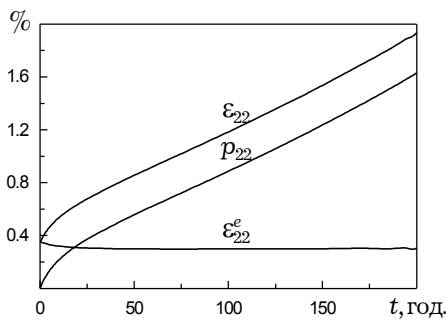


Рис. 4

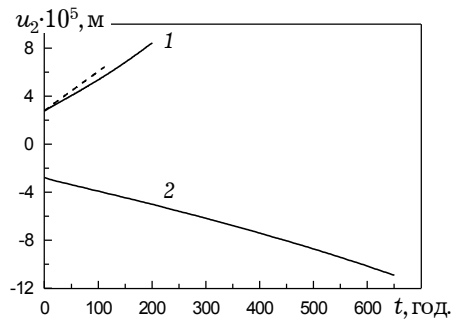


Рис. 5

На рис. 5–7 зображено результати розрахунків переміщень  $u_2$ , повних деформацій  $\varepsilon_{22}$  і напружень  $\sigma_{11}$  у точці  $A(0; c/2 - r)$  в залежності від часу.

Суцільними лініями показано дані, отримані за допомогою визначальних співвідношень, що враховують різноопірність матеріалу (розтяг – крива 1, стиск – крива 2), пунктирними лініями – результати, отримані на основі класичних рівнянь теорії повзучості.

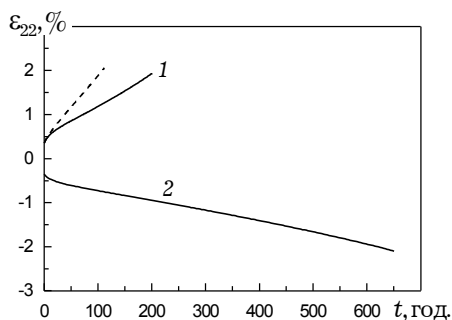


Рис. 6

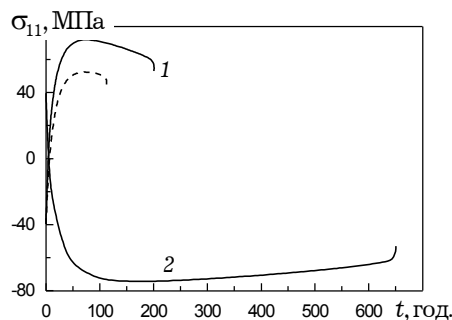


Рис. 7

В результаті досліджень було встановлено, що як при розтягу, так і при стиску пластини руйнування (у правій верхній чверті пластини) починається в одній і тій самій точці  $A_*$  (0.0047 м, 0.0127 м).

На рис. 8, 9 зображено криві для параметра пошкоджуваності та інтенсивності напружень у точці  $A_*$  при розтягу (криві 1) і стиску (криві 2). Пунктирна крива для інтенсивності напружень отримана на основі класичних визначальних співвідношень теорії повзучості.

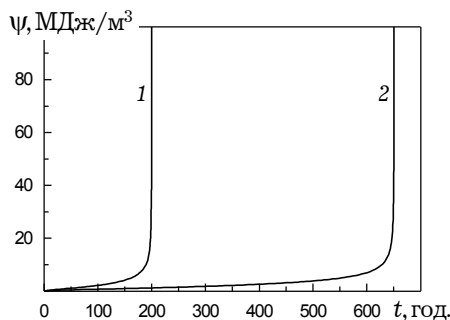


Рис. 8

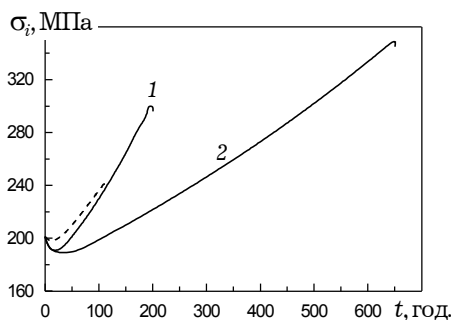


Рис. 9

З наведених вище результатів можна зробити висновок, що напрямок зовнішнього навантаження, а також геометрична форма суттєво впливають на інтенсивність розвитку процесів повзучості та пошкоджуваності в пластині. Використання класичних визначальних співвідношень при дослідженні повзучості та тривалості міцності пластин з різноопірних матеріалів приводить до неприпустимих помилок як при знаходженні основних невідомих задачі повзучості, так і при визначенні часу прихованого руйнування  $t_*$ . Використання нових визначальних співвідношень і запропонованого методу розв'язування початково-крайових задач повзучості дозволяє більш достовірно й точно описувати процеси повзучості й руйнування пластин складної форми з різноопірних матеріалів.

1. Горев Б. В., Рубанов В. В., Соснин О. В. О ползучести материалов с разными свойствами при растяжении и сжатии // Проблемы прочности. – 1979. – № 7. – С. 62–67.
2. Золочевский А. А. Об учете разносопротивляемости материалов растяжению и сжатию в задачах ползучести оболочек // Динамика и прочность машин. – 1980. – Вып. 32. – С. 8–13.
3. Золочевский А. А., Склепус С. Н. Решение задач ползучести пластин сложной формы с помощью метода R-функций // Проблемы машиностроения. – 2000. – 3, № 1, 2. – С. 123–129.

4. Мудров А. Е. Численные методы для ПЭВМ на языках Бейсик, Фортран и Паскаль. – Томск: МП «Раско», 1991. – 270 с.
5. Нижитенко А. Ф., Цвелодуб И. Ю. О ползучести анизотропных материалов с разными свойствами на растяжение и сжатие // Динамика сплошной среды. – 1979. – Вып. 43. – С. 69–78.
6. Рвачев В. Л. Теория  $R$ -функций и некоторые ее приложения. – Киев: Наук. думка, 1982. – 552 с.
7. Рвачев В. Л., Синекон Н. С. Метод  $R$ -функций в задачах теории упругости и пластичности. – Киев: Наук. думка, 1990. – 216 с.
8. Соснин О. В. О ползучести материалов с разными характеристиками на растяжение и сжатие // Журн. прикл. механики и техн. физики. – 1970. – № 5. – С. 136–139.
9. Betten J., Sklepus S., Zolochovsky A. A creep damage model for initially isotropic materials with different properties in tension and compression // Engng Fract. Mech. – 1998. – **57**, No. 5. – P. 623–641.
10. Betten J., Sklepus S., Zolochovsky A. A microcrack description of creep damage in crystalline solids with different behaviour in tension and compression // Int. J. Damage Mech. – 1999. – **8**, July 1999. – P. 197–232.
11. Foux A. An experimental investigation of the Poynting-effect // Second-order effects in elasticity, plasticity and fluid dynamics. – Oxford: Pergamon Press, 1964. – P. 228–251.
12. Murakami S., Yamada Y. Effects of hydrostatic pressure and material anisotropy on the transient creep of thick-walled tubes // Int. J. Mech. Sci. – 1974. – **16**, No. 3. – P.145–160.
13. Trampczynski W. A., Hayhurst D. R., Leckie F. A. Creep rupture of copper and aluminium under non-proportional loading // J. Mech. Phys. Solids. – 1981. – **29**. – P. 353–374.

#### **ПОЛЗУЧЕСТЬ ПЛАСТИН НЕКАНОНИЧЕСКОЙ ФОРМЫ ИЗ МАТЕРИАЛОВ С АСИММЕТРИЕЙ СВОЙСТВ**

*Исследуется ползучесть тонких пластин сложной формы из материалов с асимметрией свойств, находящихся под действием нагружения сил в плоскости. Метод решения базируется на совместном применении вариационно-структурного метода и метода Рунге – Кутты – Мерсона. Построены структуры решения для основных типов граничных условий. Исследовано влияние вида нагружения на ползучесть и длительную прочность пластины с отверстиями.*

#### **CREEP OF NON-CANONICAL FORM PLATES FROM MATERIALS WITH NON-SYMMETRIC PROPERTIES**

*A creep problem for thin plates of complex form from materials with non-symmetric properties under plane loading is considered. The method of solution is based on the joint using the variational-structural method and the Runge – Kutta – Merson method. The structures of solution for the main types of boundary conditions are obtained. The influence of loading type on creep behavior and long-time strength of the plate with holes is studied.*

Ін-т проблем машинобудування  
ім. А. М. Подгорного НАН України, Харків

Одержано  
06.07.05